

Изменяя длину напорной трубки при различных скоростях волочения длинномерного изделия, была получена зависимость изменения толщины h формируемого слоя от длины l напорной трубки, вид которой приведен на рис. 4.

В результате проведенных экспериментов было установлено, что процесс формирования защитного покрытия необходимо производить при скорости волочения, превышающей скорость свободного истечения порошкового материала, и длине напорной трубки, равной 20...22 мм.

ЗАТУХАЮЩИЙ АПЕРИОДИЧЕСКИЙ ТЕПЛОВОЙ РЕЖИМ НА ФАЗОВОЙ ГРАНИЦЕ ВЫСОКОСКОРОСТНОЙ КРИСТАЛЛИЗАЦИИ

О. Н. Шабловский, Д. Г. Кроль

*Гомельский государственный технический университет
им. П. О. Сухого, Республика Беларусь*

Некоторые современные способы получения твердых материалов характеризуются большими скоростями кристаллизации. Проблема разработки и анализа математических моделей локально-неравновесного затвердевания находится в начальной стадии развития. Состояние этого вопроса и библиография имеются в [1]. В данной работе изучаются некоторые эволюционные свойства фазовой границы (ФГ) в релаксационной тепловой задаче о высокоскоростной кристаллизации материала с нелинейными теплофизическими свойствами.

Изучаемая математическая модель состоит из уравнения энергии и уравнения для теплового потока эволюционного (релаксационного) типа:

$$\tilde{c}c \frac{\partial T}{\partial t} + \frac{\partial q}{\partial x} = 0, \quad q + \gamma \frac{\partial q}{\partial t} = -\tilde{\lambda} \lambda \frac{\partial T}{\partial x}, \quad (1)$$

где T – температура; q – удельный тепловой поток; λ – коэффициент теплопроводности; $c = \rho c_p$ – удельная объемная теплоемкость; γ – время релаксации теплового потока; t – время; x – декартова координата. Безразмерные параметры $\tilde{\lambda} = (\lambda_b T_b) / (x_b q_b)$, $\tilde{c} = (c_b T_b x_b) / (t_b q_b)$ составлены из масштабов (они отмечены нижним индексом b) величин, применяемых для обезразмеривания уравнений (1). В последующих аналитических выкладках и численных расчетах все величины – безразмерные.

Условия динамической совместности и условия устойчивости на ФГ $x = x_j(t)$ имеют вид [2]:

$$q_j - q_* = \tilde{c}N(u_j - u_*) - L(N + \gamma dN/dt), \quad (q_j - q_*)N = \tilde{\lambda}(V_j - V_*), \quad N = dx_j/dt, \quad (2)$$

$$w_*^2 < N^2 \tilde{N}^2 < (V_* - V_j) / (u_* - u_j) < w_j^2, \quad (3)$$

где $dV/dT = \lambda/\gamma$; $du/dT = c$; $L = L_b x_b / (t_b q_b)$; $\tilde{N}^2 = \tilde{c}/\tilde{\lambda}$; L_b – теплота фазового перехода единицы объема вещества; $w^2 = \lambda/(c\gamma)$ – квадрат скорости распространения тепловых возмущений; индексами $*$, j отмечены значения функций, соответственно, справа (жидкая фаза) и слева (твердая фаза) от ФГ. Неравенства (3) характеризуют устойчивость разрыва при знакопостоянной выпуклости функции $V = V(T)$. Ситуация со знакопеременной выпуклостью обсуждается в [2, 3]. Действуя аналогично [4],

выделяем температурные интервалы $[T_j, T_c]$ и $[T_c, T_*$] слева и справа от точки фазового перехода $T_c \equiv const$. Теплофизические параметры среды для каждого интервала свои и описываются зависимостями вида $\lambda = \lambda^0 + \lambda^1 T, \gamma \equiv const$, а также $c = c_0 / (T_c - T)^a, 0 < a < 1$ и $c = \hat{c}_0 / (T - T_c)^{\hat{a}}, 0 < \hat{a} < 1$. Решение уравнений (1) находим в зоне кристаллизации $x \in [x_w, x_j]$. Граничное условие на левой неподвижной границе $x = x_w: T = T_w$ либо $q = q_w$. Эволюционные свойства фронта фазовых превращений изучим, применяя численно-аналитический подход [2] к задаче о ФГ кристаллизации. В данной работе рассмотрим апериодический режим затухания во времени свойств теплового поля за разрывом $x = x_j(t)$. Это дает возможность охарактеризовать один из физически допустимых вариантов установления квазистационарного режима движения ФГ. Изучение эволюционных (периодических и непериодических) режимов установления постоянной скорости ФГ важно, в частности, потому, что в настоящее время основные аналитические результаты исследования релаксационных задач кристаллизации получены в рамках допущения $N \equiv const$, [1].

Выполним преобразование независимых переменных [2], перейдем от (x, t) к аргументам (z, α, β) :

$$\alpha = \alpha_0 \exp(k - n)t, \quad \beta = \beta_0 \exp(-k - n)t; \quad 0 < k < n, \quad \alpha_0, \beta_0 \in (0, 1);$$

$$z = x - N_0 t + l_1 \alpha + l_2 \beta + l_3 \alpha^2 + l_4 \beta^2 + l_5 \alpha \beta + l_6 \alpha^3 + l_7 \alpha^2 \beta + l_8 \alpha \beta^2 + \\ + l_9 \beta^3 + \dots; \quad l_i - const, \quad i \geq 1.$$

Линия $z_j = 0$ является образом ФГ. Уравнения теплопереноса (1) и граничные условия (2), (3) удовлетворяются функциональными степенными разложениями:

$$T = T_0(z) + \alpha T_1(z) + \alpha^2 T_2(z) + \beta \Theta_1(z) + \beta^2 \Theta_2(z) + \alpha \beta \psi_2(z) + \\ + \alpha^3 T_3(z) + \beta^3 \Theta_3(z) + \alpha^2 \beta \psi_3(z) + \alpha \beta^2 \tilde{\psi}_3(z) + \dots; \quad (4)$$

$$q = q_0(z) + \alpha q_1(z) + \alpha^2 q_2(z) + \beta \kappa_1(z) + \beta^2 \kappa_2(z) + \alpha \beta \chi_2(z) + \\ + \alpha^3 q_3(z) + \beta^3 \kappa_3(z) + \alpha^2 \beta \chi_3(z) + \alpha \beta^2 \tilde{\chi}_3(z) + \dots; \quad (5)$$

$$N = N_0 + \alpha N_1 + \alpha^2 N_3 + \beta N_2 + \beta^2 N_4 + \alpha \beta N_5 + \alpha^3 N_6 + \alpha^2 \beta N_7 + \alpha \beta^2 N_8 + \beta^3 N_9 + \dots$$

Аналитические выкладки проводим при $u_* \equiv const, q_* \equiv 0$. В зоне кристаллизации $[T_w, T_j]$ берем $c \equiv const, \gamma \equiv const, \lambda = \lambda_0 + \lambda_1 T; 0 < T_j(t) \leq T_{j \max} < T_c$. Тепловое состояние на левой границе определяем по формулам:

$$T_w = T(z_w, \alpha, \beta); \quad q_w = q(z_w, \alpha, \beta); \quad x_w \equiv const < 0,$$

причем априорное задание констант l_i опосредованным образом влияет на T_w, q_w – обратная задача. Начальные значения $T_{i-1}(0), q_{i-1}(0), i \geq 1$ находим из условий (2) на

ФГ – прямая задача. Приведем здесь формулы для коэффициентов нулевого и первого приближений по α, β :

Нулевое приближение:

$$cN_0 \frac{dT_0}{dz} = \frac{dq_0}{dz}; \quad \gamma N_0 \frac{dq_0}{dz} = q_0 + \lambda(T_0) \frac{dT_0}{dz}; \quad \lambda(T_0) = \lambda_0 + \lambda_1 T_0;$$

$$q_0(0) + \tilde{c}N_0 B_{00} + LN_0 = 0; \quad B_{00} = 2c_0^*(T^* - T_c) + 2c_0^j B_0; \quad B_0 = (T_c - T_0(0))^{1/2};$$

$$\tilde{\lambda} [V_s^* + v_j^0(T_c - T_0(0)) + 0.5v_j^1(T_c^2 - T_0^2(0))] + N_0 q_0(0) = 0; \quad v_j^0 = \lambda_j^0 / \gamma_j; \quad v_j^1 = \lambda_j^1 / \gamma_j;$$

$$N_0^2 = \tilde{\lambda} [V_s^* + v_j^0(T_c - T_0(0)) + 0.5v_j^1(T_c^2 - T_0^2(0))] / (\tilde{c}B_{00} + L).$$

Первое приближение:

$$\frac{dq_1}{dz} + c \left[\left(T_1 + l_1 \frac{dT_0}{dz} \right) (k - n) - N_0 \frac{dT_1}{dz} \right] = 0;$$

$$\frac{d\aleph_1}{dz} - c \left[\left(\Theta_1 + l_2 \frac{dT_0}{dz} \right) (k + n) + N_0 \frac{d\Theta_1}{dz} \right] = 0;$$

$$q_1 + \lambda(T_0) \frac{dT_1}{dz} + \gamma \left[\left(q_1 + l_1 \frac{dq_0}{dz} \right) (k - n) - N_0 \frac{dq_1}{dz} \right] + \lambda_1 T_1 \frac{dT_0}{dz} = 0;$$

$$\aleph_1 + \lambda(T_0) \frac{d\Theta_1}{dz} + \gamma \left[\left(\aleph_1 + l_2 \frac{dq_0}{dz} \right) (k + n) + N_0 \frac{d\aleph_1}{dz} \right] + \lambda_1 \Theta_1 \frac{dT_0}{dz} = 0;$$

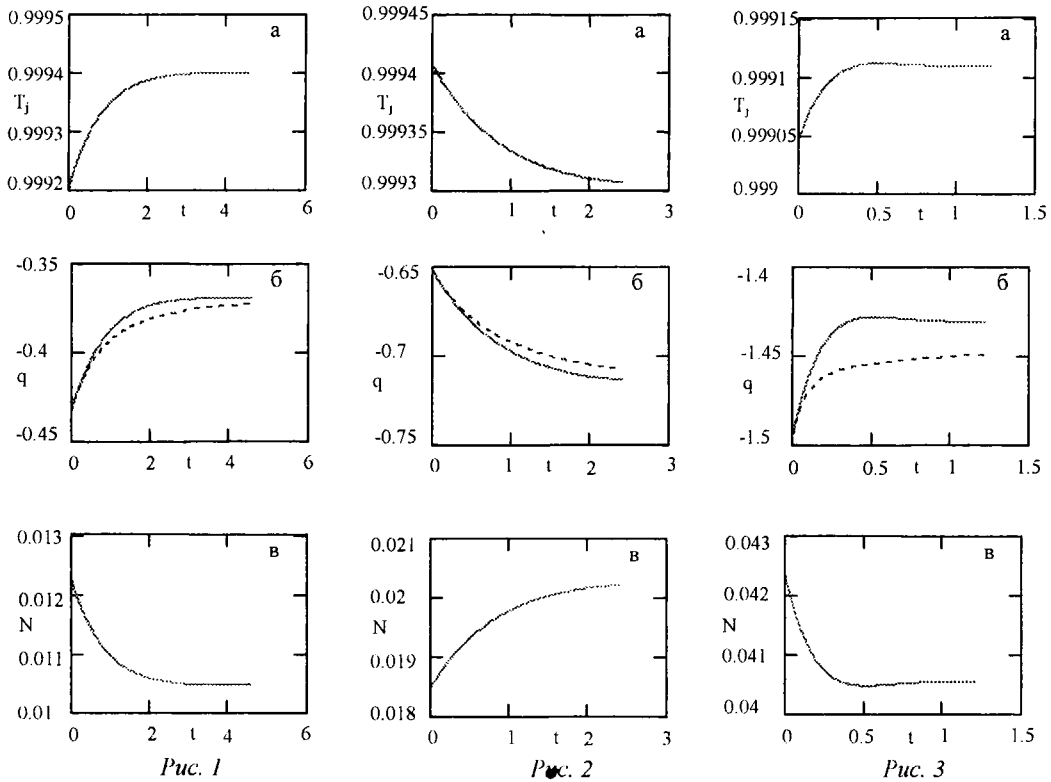
$$N_0 q_1(0) - \tilde{\lambda} T_1(0) (v_j^0 + v_j^1 T_0(0)) + N_1 q_0(0) = 0; \quad B_1 = -(T_1(0) / 2B_0);$$

$$N_0 \aleph_1(0) - \tilde{\lambda} \Theta_1(0) (v_j^0 + v_j^1 T_0(0)) + N_2 q_0(0) = 0; \quad B_3 = -(\Theta_1(0) / 2B_0);$$

$$q_1(0) + \tilde{c}N_1 B_{00} + 2\tilde{c}N_0 c_0^j B_1 + LN_1 (1 + \gamma(k - n)) = 0;$$

$$\aleph_1(0) + \tilde{c}N_2 B_{00} + 2\tilde{c}N_0 c_0^j B_3 + LN_2 (1 - \gamma(k + n)) = 0.$$

Расчеты были проведены с помощью отрезков рядов (4), (5), включающих члены разложений третьего порядка. Отметим хорошую практическую сходимость рядов. Так, для приведенных здесь вариантов различие в результатах расчета T, q с учетом членов 2-го и 3-го порядков по α, β не превосходит 0,02%.



Результаты расчетов трех типичных вариантов для железа представлены на рисунках 1–3. Номер рисунка соответствует номеру варианта. На рисунках, отмеченных буквами а, б, в, изображены, соответственно, $T_j(t)$, $q_j(t)$ (сплошная линия), $q_w(t)$ (пунктирная линия), $N(t)$. Координата левой границы $x_w = -0,05$. Температура $T_* = 1,0001$. В области перед ФГ: $c = 6,46 \cdot 10^6$ Дж/м³К; $\lambda_0 = 40,8$ Вт/мК; $\lambda_1 = -5 \cdot 10^{-4}$ Вт/мК²; в области за ФГ: $c = 6,11 \cdot 10^6$ Дж/м³К; $\lambda_0 = 42,0$ Вт/м К; $\lambda_1 = -2 \cdot 10^{-3}$ Вт/м К². Применялись следующие масштабы величин: $T_b = 1810$ К; $c_b = 6,11 \cdot 10^6$ Дж/м³К; $x_b = 1 \cdot 10^{-3}$ м; $t_b = 1 \cdot 10^{-5}$ с; $L_b = 2,11 \cdot 10^9$ Дж/м³; $\lambda_b = 42,0$ Вт/мК; $q_b = 6 \cdot 10^9$ Вт/м². Остальные входные параметры задачи представлены в таблице.

	γ_*	γ_i	N_0	N_1	N_2	N_3	N_4	N_5	k	n
Вар. 1	0,5	$15 \cdot 10^{-4}$	0,0104	$1 \cdot 10^{-3}$	$1 \cdot 10^{-3}$	$25 \cdot 10^{-5}$	$25 \cdot 10^{-5}$	$25 \cdot 10^{-5}$	0,5	1,0
Вар. 2	0,2	$4 \cdot 10^{-4}$	0,02027	$-1 \cdot 10^{-3}$	$-1 \cdot 10^{-3}$	$-25 \cdot 10^{-5}$	$-25 \cdot 10^{-5}$	$-25 \cdot 10^{-5}$	0,5	1,0
Вар. 3	0,05	$1 \cdot 10^{-4}$	0,04055	$1 \cdot 10^{-3}$	$1 \cdot 10^{-3}$	$25 \cdot 10^{-5}$	$25 \cdot 10^{-5}$	$25 \cdot 10^{-5}$	4,5	5,0

Литература

1. Galenko P., Sobolev S. Local nonequilibrium effect on undercooling in rapid solidification of alloys // Physical Review E. 1997. Vol. 55. №1. P. 343–352
2. Шабловский О.Н. Релаксационные тепловые структуры и фазовые границы в нелинейных средах // Труды 2-й Российской национальной конференции по теплообмену. Т. 7. Теплопроводность, теплоизоляция. – М.: МЭИ, 1998. – С. 251–254
3. Шабловский О.Н. Нелинейные волновые задачи релаксационного теплопереноса // Газовая динамика. – Томск: Изд-во ун-та, 1991. – С.91–98
4. Шабловский О.Н. Некоторые задачи нелинейной динамики локально-неравновесных тепловых полей // Первый междисциплинарный семинар “Фракталы и прикладная синергетика”: Сб. тезисов. – М.: Изд-во РАН, 1999. – С. 54–55